

УДК 621.391.2

К.К. Васильев, В.Е. Дементьев, А.В. Белянчиков

## ПРИЕМ ДИСКРЕТНЫХ СООБЩЕНИЙ В МНОГОЧАСТОТНЫХ СИСТЕМАХ СВЯЗИ С ПИЛОТ-СИГНАЛАМИ<sup>1</sup>



**Васильев Константин Константинович**, доктор технических наук, окончил радиотехнический факультет Ленинградского электротехнического института им. В.И. Ульянова (Ленина) (ЛЭТИ), профессор кафедры «Телекоммуникации» Ульяновского государственного технического университета (УлГТУ), заслуженный деятель науки и техники РФ, член-корреспондент АН республики Татарстан. Имеет монографии, учебные пособия и статьи в области статистического синтеза и анализа информационных систем. [e-mail: vkk@ulstu.ru].



**Дементьев Виталий Евгеньевич**, кандидат технических наук, доцент, окончил экономико-математический факультет УлГТУ по специальности «Прикладная математика», заведующий кафедрой «Телекоммуникации» УлГТУ. Имеет монографии и статьи в области статистического синтеза и анализа многомерных изображений. [e-mail: dve@ulntc.ru].



**Белянчиков Алексей Владимирович**, окончил программу магистратуры по направлению «Инфокоммуникационные технологии и системы связи» в УлГТУ, аспирант кафедры «Телекоммуникации» УлГТУ. Имеет публикации в области инфокоммуникационных систем. [e-mail: friedlemon73@gmail.com].

### Аннотация

С помощью байесовского подхода синтезирован оптимальный алгоритм приема многопозиционных сигналов в многочастотных системах связи с оцениванием квадратурных составляющих (КС). Полученный алгоритм близок по виду к известному квадратично-линейному приемнику, но отличается наличием в его составе оптимальных оценок КС и коррекцией параметров. Рассмотрены возможности оценивания КС на основе встроенных пилот-сигналов и методов обработки изображений. При этом для аппроксимации реальных корреляционных функций полей КС предложено использовать авторегрессионные модели с кратными корнями характеристических уравнений, позволяющие имитировать квазиизотропные поля. Показано, что применение таких моделей приводит к незначительному увеличению дисперсии ошибки восстановления по отношению к дискретному фильтру Винера, но позволяет использовать рекуррентную интерполяцию случайных полей с минимальными вычислительными затратами. Рассмотрены условия, при которых можно производить наиболее простое оценивание КС на основе наблюдений ближайших пилот-сигналов.

Ключевые слова: система связи, пилот-сигнал, квадратурные составляющие, белый шум, авторегрессия, корреляционная функция, ковариационная матрица оценок, фильтр Винера, фильтр Калмана.

doi: 10.35752/1991-2927-2020-2-60-109-116

<sup>1</sup> Исследование выполнено при финансовой поддержке РФФИ и Правительства Ульяновской области в рамках научных проектов № 18-47-730009 и № 19-41-730006.

## RECEIVING DISCRETE MESSAGES IN MULTI-FREQUENCY COMMUNICATION SYSTEMS WITH PILOT SIGNALS

**Konstantin Konstantinovich Vasilev**, Doctor of Sciences in Engineering; graduated from the Radioengineering Faculty at Leningrad Electrotechnical Institute n.a. V.I. Ulyanov (Lenin) ("LETI"); Professor of the Department of Telecommunications at Ulyanovsk State Technical University; Honoured Worker of Science and Technology of the Russian Federation, Corresponding Member of the Academy of Sciences of the Republic of Tatarstan; an author of monographs, manuals, and articles in the field of statistical synthesis and analysis of information systems. e-mail: vkk@ulstu.ru.

**Vitalii Evgenevich Dementev**, Candidate of Sciences in Engineering, Associate Professor; graduated from the Faculty of Economics and Mathematics with the specialty in Applied Mathematics at Ulyanovsk State Technical University; Head of the Department of Telecommunications at UISTU; an author of monographs and articles in the field of statistical synthesis and analysis of multidimensional images. e-mail: dve@ulntc.ru.

**Aleksei Vladimirovich Belianchikov**, Postgraduate Student of the Department of Telecommunications at Ulyanovsk State Technical University; graduated from UISTU with the Master's degree in Infocommunication Technologies and Communication Systems; an author of publications in the field of information and communication systems. e-mail: friedlemon73@gmail.com.

### Abstract

The optimal algorithm for receiving multi-position signals in multi-frequency communication systems with the estimation of quadrature components (CS) has been synthesized using the Bayesian approach. The algorithm is similar to the well-known quadratic-linear receiver, but differs in the presence of optimal CS estimates and parameter correction in its composition. The article considers possibilities of evaluating CS based on built-in pilot signals and image processing methods as well. Upon that autoregressive models with multiple roots of characteristic equations, which allow simulating quasi-isotropic fields, are suggested for approximating the real correlation functions of the CS fields. The study shows that the use of such models results in a slight increase in the variance of the reconstruction error with respect to the discrete Wiener filter, but allows using recurrent interpolation of random fields with minimal computational costs. The article describes conditions under which it is possible to make the simplest CS estimation based on observations of the nearest pilot signals.

Key words: communication system, pilot signal, quadrature components, white noise, autoregression, correlation function, covariance matrix of estimates, Wiener filter, Kalman filter.

### ВВЕДЕНИЕ

В последние десятилетия появилось много работ, посвященных разработке и оптимизации алгоритмов оценивания параметров каналов связи, применяемых при проектировании многочастотных цифровых систем мобильной связи четвертого поколения [1–9]. Использование информации о состоянии канала связи позволяет существенно повысить помехоустойчивость подобных систем. Для этой цели обычно используются пилот-сигналы, определенным образом размещенные на частотно-временной плоскости. В целом сигнал, прошедший через канал с замираниями и поступивший на вход приемного устройства, может быть представлен как двумерное (частотно-временное) случайное поле (СП) неполных наблюдений, отсчеты которого распределены по позициям пилот-сигналов. При этом квадратурные составляющие (КС)  $A_c$  и  $A_s$  в точках частотно-временной плоскости, расположенных между пилот-сигналами, могут быть оценены с использованием методов обработки изображений [9–12].

В настоящей статье рассматривается решение задач синтеза оптимального квадратично-линейного оценоч-

ного алгоритма приема многопозиционных сигналов и возможностей оценивания полей КС на основе пилот-сигналов.

### КВАДРАТИЧНО-ЛИНЕЙНЫЙ АЛГОРИТМ ПРИЕМА МНОГОПОЗИЦИОННЫХ СИГНАЛОВ

Рассмотрим правило оптимального приема одного из  $M$  возможных информационных сигналов, наблюдаемых в дискретном времени  $t_i$ ,  $i = 1, 2, \dots, n$ , в смеси с белым гауссовским шумом:

$$z_i = A_c S_{al} \cos(\omega t_i + \varphi_l) + A_s S_{al} \sin(\omega t_i + \varphi_l) + n_i, \quad (1)$$

$$i = 1, 2, \dots, n; l = 0, 1, \dots, M - 1.$$

Для большого класса каналов связи КС  $A_c$  и  $A_s$  описываются гауссовскими плотностями распределения вероятностей (ПРВ) [6]:

$$w(A_c) = \frac{1}{\sqrt{2\pi}\sigma_c} \exp\left[-\frac{(A_c - m_c)^2}{2\sigma_c^2}\right],$$

$$w(A_s) = \frac{1}{\sqrt{2\pi}\sigma_s} \exp\left(-\frac{(A_s - m_s)^2}{2\sigma_s^2}\right),$$

содержащими в качестве четырех параметров математические ожидания  $m_c, m_s$  и дисперсии  $\sigma_c^2, \sigma_s^2$  квадратурных компонент. Обобщенной числовой характеристикой служит отношение средних мощностей регулярной и флюктуирующих частей передаточной функции канала [6]:

$$q_p^2 = \frac{m_c^2 + m_s^2}{\sigma_c^2 + \sigma_s^2} = \frac{\gamma_p^2}{\sigma_c^2 + \sigma_s^2}.$$

При увеличении  $q_p$  уменьшается неопределенность относительно модуля коэффициента передачи  $\gamma$  и фазы

$\varphi$ . В пределе, при  $q_p \rightarrow \infty$ , получим точно известные характеристики:

$$\gamma \rightarrow \gamma_p = \sqrt{m_c^2 + m_s^2} \text{ и } \varphi \rightarrow \arctg(m_c/m_s).$$

Будем предполагать, что заданы вероятности появления каждого из передаваемых сигналов  $p_l, l = 0, 1, \dots, M$  и величины потерь  $R_l, l = 0, 1, \dots, M$ , при ошибочном решении. Тогда, для нахождения оптимального байесовского алгоритма обработки наблюдений необходимо вычислить  $M$  значений статистики  $T_l(\bar{z}) = p_l R_l w(\bar{z}/H_l), l = 0, 1, \dots, M$ , и принять решение, соответствующее максимуму  $T_l(\bar{z})$ . Для рассматриваемой задачи

$$T_l(\bar{z}) = p_l R_l \int_{-\infty}^{\infty} w(A_c) \int_{-\infty}^{\infty} w(A_s) w(\bar{z}/A_c, A_s, H_l) dA_s dA_c$$

и поэтому решение о справедливости гипотезы  $H_l$  принимается в соответствии с максимумом

$$\lambda_l = \ln \frac{T_l}{C_2 p_l R_l} = \frac{\left(\frac{X_l + m_c}{\sigma_c^2 + \frac{m_c^2}{\sigma_c^2}}\right)^2 \sigma_c^2}{2(1 + 2h_{cl}^2)} + \frac{\left(\frac{Y_l + m_s}{\sigma_s^2 + \frac{m_s^2}{\sigma_s^2}}\right)^2 \sigma_s^2}{2(1 + 2h_{sl}^2)} - \frac{1}{2} \ln(1 + 2h_{cl}^2)(1 + 2h_{sl}^2), \quad (2)$$

где  $C_2 = C_1 \exp\left(-\frac{m_c^2}{\sigma_c^2} - \frac{m_s^2}{\sigma_s^2}\right); \quad h_{cl}^2 = \frac{Q_l \sigma_c^2}{2\sigma^2}$

и  $h_{sl}^2 = \frac{Q_l \sigma_s^2}{2\sigma^2}$  – параметры, характеризующие отношение сигнал/шум ортогональных компонент флюктуирующих частей сигнала [6]. Заметим, что для непрерывного времени алгоритм (2) представлен и исследован в работе [6].

Главную роль в обработке наблюдений играют две квадратурные корреляционные суммы:

$$X_l = \sum_{i=1}^n z_i S_{al} \cos(\omega t_i + \varphi_l),$$

$$Y_l = \sum_{i=1}^n z_i S_{al} \sin(\omega t_i + \varphi_l),$$

$$l = 0, 1, \dots, M - 1.$$

Оптимальная процедура обработки (2) содержит квадратурные и линейные члены с корреляционными суммами  $X_l$  и  $Y_l$ . Поэтому алгоритм обработки наблюдений (2) был назван квадратично-линейным [6]. Если в канале нет замираний ( $\sigma_c^2 = \sigma_s^2 = 0, q_p \rightarrow \infty$ ), то процедура (2) сводится к когерентному приему сигналов с известной фазой. Такой алгоритм может приме-

няться и при конечных значениях параметра  $q_p^2 > 10$ , несущественно проигрывая оптимальному квадратично-линейному [6].

В другом крайнем случае, когда  $m_c = m_s = 0, q_p = 0$ , правило (2) содержит только квадратичные члены. Как показано в работе [11], квадратичный алгоритм может успешно применяться не только при  $q_p = 0$ , но и при не очень больших значениях  $q_p^2 < 5$ .

### КВАДРАТИЧНО-ЛИНЕЙНЫЙ АЛГОРИТМ С ОЦЕНИВАНИЕМ КС

Рассмотрим более сложную задачу применения оценок  $\hat{A}_c$  и  $\hat{A}_s$  КС для повышения эффективности приема многопозиционных сигналов в условиях замираний. Будем считать, что оценки КС независимы и подчиняются нормальным распределениям:

$$w(\hat{A}_c/A_c) = \frac{1}{\sqrt{2\pi}\sigma_{\varepsilon c}} \exp\left(-\frac{(\hat{A}_c - A_c)^2}{2\sigma_{\varepsilon c}^2}\right),$$

$$w(\hat{A}_s/A_s) = \frac{1}{\sqrt{2\pi}\sigma_{\varepsilon s}} \exp\left(-\frac{(\hat{A}_s - A_s)^2}{2\sigma_{\varepsilon s}^2}\right),$$

где  $\sigma_{\varepsilon c}^2$  и  $\sigma_{\varepsilon s}^2$  – дисперсии ошибок оценивания.

Для получения оптимального правила приема многопозиционных сигналов в условиях замираний следует рассматривать оценки  $\hat{A}_c$  и  $\hat{A}_s$  как дополнительные наблюдения. В этом случае наилучший байесовский алгоритм различения должен строиться на основе поиска

максимума по  $l = 0, 1, \dots, M - 1$ , статистики [11]:

$$T_l(\bar{z}) = p_l R_l w(\bar{z}, \hat{A}_c, \hat{A}_s / H_l).$$

Для нахождения явного вида этой статистики необходимо выполнить двукратное интегрирование:

$$T_l(\bar{z}, \hat{A}_c, \hat{A}_s) = p_l R_l \int_{-\infty}^{\infty} \int_{-\infty}^{\infty} w(\bar{z}, \hat{A}_c, \hat{A}_s, A_c, A_s / H_l) dA_s dA_c.$$

Воспользуемся табличным интегралом и получим следующее выражение:

$$\lambda_l = \ln \frac{T_l}{C_3 p_l R_l} = \frac{\left( \frac{X_l}{\sigma^2} + \frac{\hat{A}_{oc}}{\sigma_{oc}^2} \right)^2 \sigma_{oc}^2}{2(1 + 2h_{cl}^2)} + \frac{\left( \frac{Y_l}{\sigma^2} + \frac{\hat{A}_{os}}{\sigma_{os}^2} \right)^2 \sigma_{os}^2}{2(1 + 2h_{sl}^2)} - \frac{1}{2} \ln(1 + 2h_{cl}^2)(1 + 2h_{sl}^2), \quad (3)$$

где  $C_3$  – постоянная, не зависящая от номера гипотезы.

Основное отличие полученной статистики (3) от известного квадратично-линейного алгоритма (2) заключается в замене параметров  $m_c$  и  $m_s$  распределений КС на объединенные оценки вида:

$$\hat{A}_{oc} = \frac{\sigma_{\varepsilon c}^2}{\sigma_c^2 + \sigma_{\varepsilon c}^2} m_c + \frac{\sigma_c^2}{\sigma_c^2 + \sigma_{\varepsilon c}^2} \hat{A}_c \quad \text{и} \quad (4)$$

$$\hat{A}_{os} = \frac{\sigma_{\varepsilon s}^2}{\sigma_s^2 + \sigma_{\varepsilon s}^2} m_s + \frac{\sigma_s^2}{\sigma_s^2 + \sigma_{\varepsilon s}^2} \hat{A}_s,$$

имеющие минимально достижимые в этих условиях

$$\text{дисперсии ошибок } \sigma_{oc}^2 = \frac{\sigma_c^2 \sigma_{\varepsilon c}^2}{\sigma_c^2 + \sigma_{\varepsilon c}^2} \quad \text{и} \quad \sigma_{os}^2 = \frac{\sigma_s^2 \sigma_{\varepsilon s}^2}{\sigma_s^2 + \sigma_{\varepsilon s}^2}$$

соответственно. При этом параметры  $m_c$  и  $m_s$  с дисперсиями  $\sigma_c^2$  и  $\sigma_s^2$  можно рассматривать как априорную информацию о характеристиках КС. Оценки (4) дают возможность наилучшим образом объединить априорную информацию и оценки  $\hat{A}_c$  и  $\hat{A}_s$ , полученные в результате эксперимента, например, с помощью пилот-сигналов. Это позволяет обеспечить квазиогерентный прием сигналов даже в наихудших условиях, когда  $m_c = 0$ ,  $m_s = 0$ .

### ОЦЕНИВАНИЕ КС С ПОМОЩЬЮ ПИЛОТ-СИГНАЛОВ

Для нахождения оценок  $\hat{A}_c$  и  $\hat{A}_s$  КС коэффициента передачи канала связи используются различные подходы [1–8]. Рассмотрим возможности оценивания на основе пилот-сигналов в многочастотных системах цифровой связи с OFDM [1–5,7]. В таких системах замирания на близких частотах,

как правило, оказываются сильно коррелированными. Это позволяет использовать пилот-сигналы всего на нескольких частотах для оценивания изменяющихся амплитудно-фазовых характеристик всех принимаемых сигналов (рис. 1). В отличие от информационных, пилот-сигналы не передают какие-либо сообщения и поэтому снижают общую скорость передачи информации. Вместе с тем, применение пилот-сигналов позволяет дать оценку частотно-временного поля характеристик принимаемых сигналов и снизить вероятность ошибочного приема символов. Поэтому их число должно выбираться с учетом компромисса между снижением скорости передачи информации и качеством оценивания характеристик замираний.

Рассмотрим алгоритмы оценивания амплитудно-фазовых характеристик на основе анализа принятых пилот-сигналов. После демодуляции и нормировки наблюдения в моменты времени  $t_i$  на частотах  $f_j$ , где передаются пилот-сигналы, можно представить в виде:

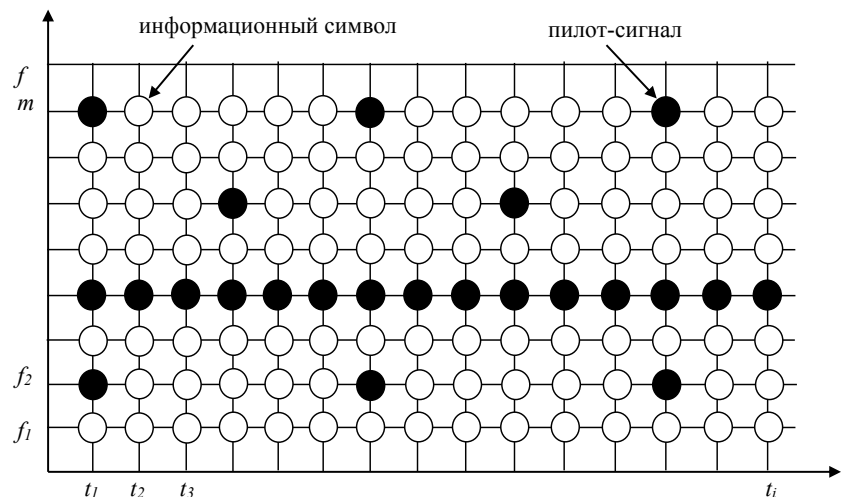


Рис. 1. Размещение пилот-сигналов и информационных символов на частотно-временной сетке

$$z_{cij} = A_{cij} + n_{cij}, z_{sij} = A_{sij} + n_{sij},$$

$$j = j_1, j_2, \dots, j_{M_i}, i = 1, 2, \dots, \quad (5)$$

где  $M_i$  – число пилот-сигналов на  $i$ -й временной позиции;  $n_{cij}, n_{sij}$  – независимые гауссовские случайные величины с нулевыми средними и дисперсиями  $\sigma^2$ . Задача состоит в нахождении оценок  $\hat{A}_{cij}, \hat{A}_{sij}$  всех значений КС  $A_{cij}, A_{sij}$   $j = 1, 2, \dots, m, i = 1, 2, \dots$  по частичным наблюдениям (5) значений этих полей в области пилот-сигналов.

Поскольку оценивание КС  $\hat{A}_{cij}, \hat{A}_{sij}$  осуществляется с помощью алгоритмов одинаковой структуры, рассмотрим запись основных соотношений для косинусной компоненты. Составим вектор из  $M_i$  наблюдений  $\bar{z}_{ci} = (z_{cij_1} z_{cij_2} \dots z_{cij_{M_i}})^T, i = 1, 2, \dots, k$ , в области пилот-сигналов, а в вектор оцениваемых параметров включим все значения КС:  $\bar{x}_{ci} = (A_{ci1} A_{ci2} \dots A_{cim})^T$ . Тогда совокупность частичных наблюдений вектора  $\bar{z}_{ci}$  на фоне помех  $\bar{n}_{ci} = (n_{cij_1} n_{cij_2} \dots n_{cij_m})^T$  можно записать в стандартном виде:

$$\bar{z}_{ci} = C_i \bar{x}_{ci} + \bar{n}_{ci}, i = 1, 2, \dots,$$

где  $C_i$  – матрица размером  $M_i \times m$ , каждая строка которой содержит нули и единицу, соответствующую положению одного из  $M_i$  пилот-сигналов.

Для решения задачи необходимо описать взаимосвязи между значениями КС по времени и по частоте, т. е. задать корреляционную функцию (КФ)  $B_c(k, l) = M \{A_{cij} A_{c(i+k)(j+l)}\}$  двумерного СП.

В работе [3] проведен анализ КФ огибающей сигнала, принимаемого подвижным объектом при частотном, временном и пространственном разнесении. Анализ экспериментальных данных показывает, что в условиях мегаполиса при движении абонента хорошей аппроксимацией может быть равномерное распределение углов прихода сигналов и экспоненциальное распределение

времени задержки:  $w(\tau) = \lambda \exp(-\lambda\tau), \tau \geq 0$ . В этом случае нормированная КФ запишется в виде произведения КФ по времени  $R(k)$  и по частоте  $R(l)$  (рис. 2):

$$R(k, l) = \frac{J_0(\omega_{\max}(t_{i+k} - t_i))}{\left(1 + ((\omega_{i+1} - \omega_j)/\lambda)^2\right)}, \quad (6)$$

где  $J_0$  – функция Бесселя первого рода нулевого порядка;  $\omega_{\max}$  – максимальная доплеровская добавка частоты, вызванная движением абонента;  $\omega_j = 2\pi f_j$ .

На рисунке 2а представлены графики КФ огибающей сигнала по времени, где  $R(k) = J_0(1,75 * 10^{-2} k)$ ,

$$R_1(k) = p_1^k, \quad R_2(k) = \left(1 + \frac{1 - p_2^2}{1 + p_2^2} k\right) p_2^k; \quad p_1 = 0,99, p_2 = 0,979.$$

На рисунке 2б показаны КФ огибающей сигнала по частоте, где  $R(l) = \frac{1}{1 + 1,72 * 10^{-4} * l^2}$ ,

$$R_1(l) = p_1^l, \quad R_2(l) = \left(1 + \frac{1 - p_2^2}{1 + p_2^2} l\right) p_2^l; \quad p_1 = 0,99, p_2 = 0,979.$$

При этом параметры всех КФ подобраны таким образом, чтобы интервал корреляции на уровне  $1/e$  составлял 100 дискретов.

Для непосредственного применения (6) с целью решения задачи восстановления КС могут использоваться методы винеровской фильтрации [1–6,10]. Однако применение винеровских алгоритмов оценивания, позволяющих использовать близкие к реальным КФ, приводит к большому объему вычислений и невозможности работать в реальном времени даже с применением современных вычислительных средств.

Наиболее эффективно с вычислительной точки зрения представление СП в виде двумерного марковского поля, что позволяет применять для восстановления калмановские алгоритмы [9–12]. Вместе с тем, это вызывает значительные ошибки фильтрации за счет замены реальных КФ экспоненциальными. Возникшую проблему

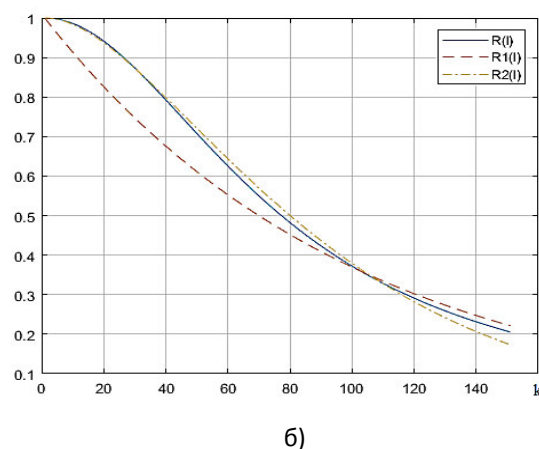
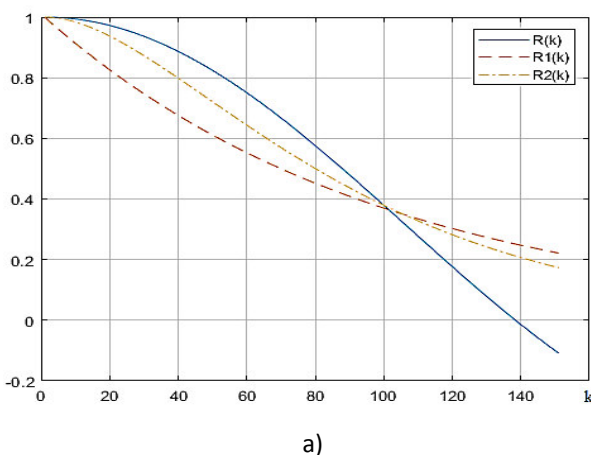


Рис. 2. КФ по времени (а) и по частоте (б)

можно частично решить с помощью расширения класса марковских процессов и применения для описания СП авторегрессионных (АР) процессов с кратными корнями характеристических уравнений [9–12]. Это позволяет, с одной стороны, приблизить характеристики моделей к реальным СП, а с другой – обеспечивает реализацию рекуррентных алгоритмов восстановления КС в реальном времени. При этом будет наблюдаться проигрыш по эффективности к практически нереализуемому фильтру Винера и выигрыш по отношению к обычным методам калмановской фильтрации.

Для простейшей модели с экспоненциальной КФ (рис. 2, пунктир) вида:

$$R_1(k, l) = r_1^{|k|} p_1^{|l|}, \quad (7)$$

можно использовать алгоритмы построчного представления  $\bar{x}_i = \rho_1 \bar{x}_{i-1} + \sigma_x \gamma \xi_i$ ,  $i = 1, 2, \dots, n$ , и фильтрации двумерных изображений [9–12]:

$$\hat{x}_i = \hat{x}_{zi} + B_i (\bar{z}_i - C_i \hat{x}_{zi}), \quad i = 1, 2, \dots,$$

где  $\hat{x}_{zi} = \rho_1 \hat{x}_{zi-1}$ ;  $P_{zi} = \rho_1^2 P_{zi-1} + V_{\xi_i}$ ;  $V_{\xi_i} = (1 - \rho_1^2) V_x$ ;  $V_x = M \{ \bar{x}_i \bar{x}_i^T \}$  – корреляционная матрица информационного СП;  $P_{z1} = V_x$ ;  $\hat{x}_{z1} = \bar{0}$ . Ковариационную матрицу ошибок фильтрации нужно либо хранить в памяти ЭВМ, либо вычислять по формулам [9–12]:

$$P_i = (E - B_i C_i) P_{zi}, \quad B_i = P_{zi} C_i^T \Gamma_i^{-1},$$

$$\Gamma_i = C_i P_{zi} C_i^T + V_i,$$

требующим обращения матриц  $\Gamma_i$ ,  $i = 1, 2, \dots$  относительно небольшого ( $M_i < m$ ) размера  $M_i \times M_i$  элементов.

Рассмотрим более точную аппроксимацию характеристик реальных КС с помощью авторегрессий с кратными корнями характеристических уравнений [8–12]:

$$x_i = 2\rho_2 x_{i-1} - \rho_2^2 x_{i-2} + \xi_i.$$

Графики КФ

$$R_2(k) = \left[ 1 + \frac{(1 - \rho_2^2)}{(1 + \rho_2^2)} |k| \right] \rho_2^{|k|}, \quad (8)$$

этой последовательности показаны штрих-пунктиром на рисунке 2. Заметим, что при заданной дисперсии СП  $\sigma_x^2 = M \{ x_i^2 \}$  дисперсия  $\xi_i$  должна определяться по формуле:  $\sigma_\xi^2 = \sigma_x^2 (1 - \rho_2^2)^3 / (1 + \rho_2^2)$ . Как установлено в работах [9–12], для оценивания КС на основе рассмотренных процессов авторегрессии с КФ (8) могут применяться рекуррентные калмановские фильтры с расширенным вектором состояния.

Заметим, что представленные алгоритмы позволяют по небольшому числу  $M_i$  пилот-сигналов проводить оценивание всех значений  $\bar{x}_{ci} = (A_{ci1} A_{ci2} \dots A_{cim})^T$  КС. При этом возникает важная задача добиться наилучшего (с точки зрения минимума максимального значения

дисперсии ошибки) расположения ограниченного числа пилот-сигналов на двумерной сетке отсчетов (рис. 1).

### ЭФФЕКТИВНОСТЬ ВОССТАНОВЛЕНИЯ ПОЛЕЙ КС

Для анализа эффективности восстановления КС можно сравнить установившиеся значения дисперсий ошибок фильтров Калмана при КФ вида (7), (8) [1–7] и фильтра Винера для КФ (6). Однако даже для анализа эффективности этот путь приводит к очень большому числу параметров моделей и возможных вариантов размещения пилот-сигналов. Поэтому проведем сравнительный анализ эффективности алгоритмов для ячейки размером  $L_t \times L_w$  символов с наблюдениями  $\bar{z} = (z_1 z_2 z_3 z_4)^T$ ,  $z_i = A_{ci} + n_{ci}$ ,  $i = 1, 2, 3, 4$ , четырех пилот-сигналов (рис. 3), на основе которых восстанавливаются КС. При этом будем вычислять наибольшую дисперсию ошибки восстановления, которую будет иметь центральный элемент  $x_0$  (рис. 3).

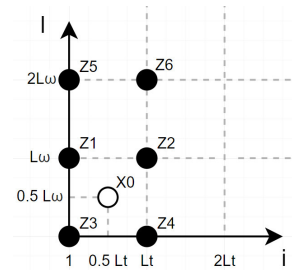


Рис. 3. Расположение пилот-сигналов и точки прогнозирования

В рассматриваемой ситуации наилучшей будет линейная оценка

$$\hat{x}_0 = \bar{\alpha}^T \bar{z},$$

весовые коэффициенты  $\bar{\alpha}^T = (\alpha_1 \alpha_2 \alpha_3 \alpha_4)$  которой выбираются из условия минимума дисперсии ошибки:

$$\begin{aligned} \sigma_\varepsilon^2 &= M \{ (\hat{x}_0 - x_0)^2 \} = \\ &= \sigma_x^2 - 2\sigma_x^2 \bar{\alpha}^T R_x + \sigma_x^2 \bar{\alpha}^T R_z \bar{\alpha}, \end{aligned} \quad (9)$$

где  $R_z = M \{ \bar{z} \bar{z}^T \} / \sigma_x^2$ ,  $R_x = M \{ \bar{x} \bar{x}^T \} / \sigma_x^2$ .

Нетрудно показать, что этот минимум достигается при  $\bar{\alpha} = R_z^{-1} R_x$ .

Таким образом, при выборе коэффициентов (9) с учетом (6) получим минимальное значение относительной дисперсии ошибки:

$$\frac{\sigma_\varepsilon^2}{\sigma_x^2} = 1 - \bar{\alpha}^T R_x. \quad (11)$$

Если же используется замена КФ (6) на КФ вида (7) или (8), обеспечивающие возможность калмановской фильтрации, то коэффициенты (10) будут отличаться от оптимальных, что приводит к увеличению ошибки фильтрации (9).

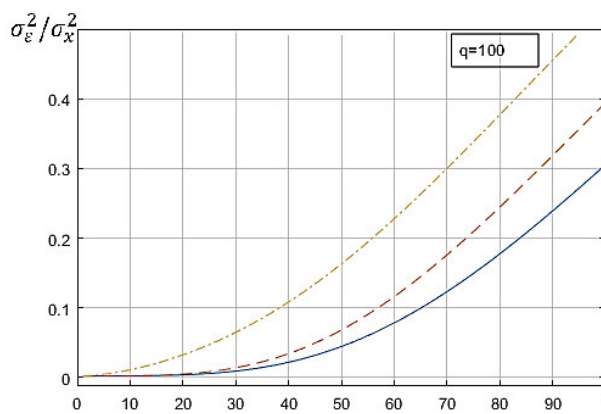
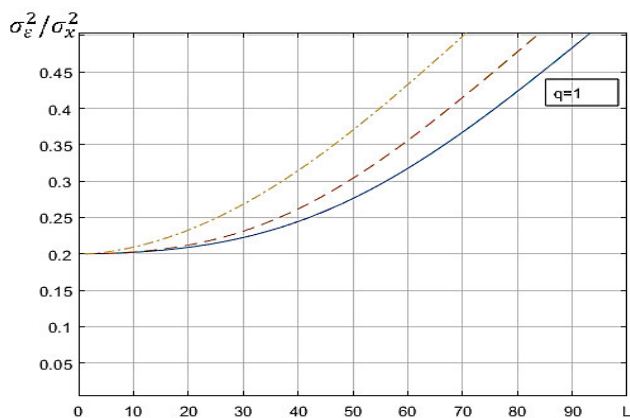


Рис. 4. Относительные дисперсии ошибок прогнозирования

На рисунке 4 показаны зависимости относительных дисперсий ошибок фильтрации от размера фрагмента (ось абсцисс)  $L_t = L_{\omega} = L$  для оптимального алгоритма (сплошные линии) с использованием КФ (6), алгоритма с использованием КФ (7) (штрих-пунктир), а также алгоритма восстановления КС с применением КФ (8) (пунктир).

Анализ представленных результатов показывает значительно меньшую дисперсию восстановления КС с применением модели с кратными корнями характеристических уравнений [9] по сравнению с традиционной АР моделью первого порядка [1–7]. Вместе с тем, наблюдается незначительный проигрыш по отношению к практически нереализуемому фильтру Винера с использованием КФ (6).

Полученные графики построены для случая восстановления КС в центре ячейки размером  $L \times L$  частотно-временных элементов по четырем пилот-сигналам. Вместе с тем, представляет большой интерес возможность снижения погрешностей за счет применения большего числа пилот-сигналов. Рассмотрим величину снижения дисперсии ошибки в случае использования двух дополнительных наблюдений  $z_5 = A_{c5} + n_{c5}$ ,

$z_6 = A_{c6} + n_{c6}$  пилот-сигналов (рис. 3). Для расчетов воспользуемся формулами (10), (11) при оптимальных весовых коэффициентах для шести пилот-сигналов. На рисунке 5 приведены зависимости максимальных относительных дисперсий ошибки восстановления КС для случаев использования четырех и шести пилот сигналов.

Как показывает анализ приведенных графиков, снижение дисперсии ошибок оценивания КС за счет использования двух дополнительных пилот-сигналов наблюдается только до значений  $L = 30-40$ , что составляет 30–40% от интервала корреляции  $L = 100$ . В реальных системах связи интервал корреляции может принимать как меньшие, так и большие значения. При небольших интервалах корреляции применение большего числа пилот-сигналов будет значительно снижать пропускную способность, и поэтому целесообразно использовать рассмотренную схему с четырьмя пилот-сигналами, расположенными на максимально допустимом расстоянии по величине дисперсии ошибки. Напротив, при интервалах корреляции  $L \gg 100$  следует применять калмановскую фильтрацию с учетом АР моделей второго и более высоких порядков, объединяющую большое число наблюдений в области пилот-сигналов.

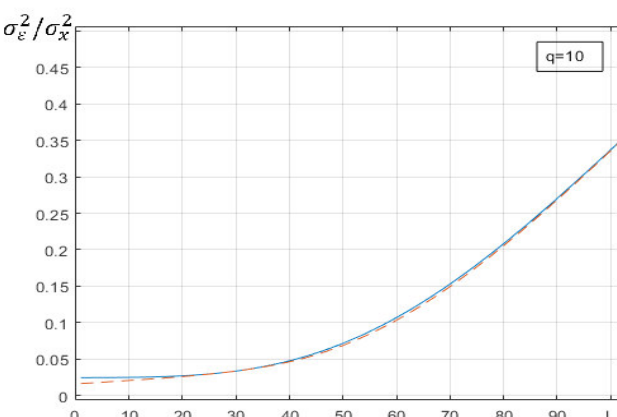
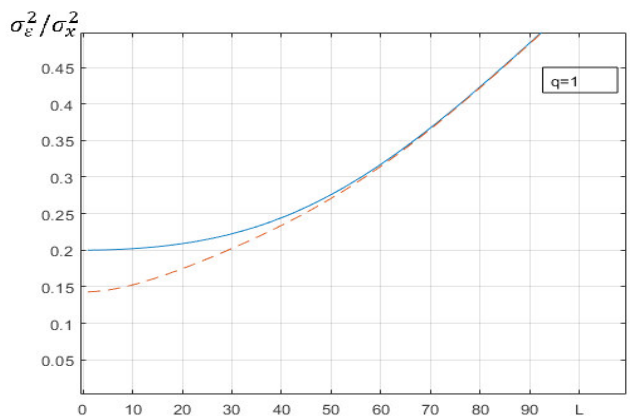


Рис. 5. Относительные дисперсии ошибок прогнозирования для четырех пилот-сигналов (сплошные линии) и шести пилот-сигналов (пунктир)

## ЗАКЛЮЧЕНИЕ

На основе оптимального байесовского правила различения многопозиционных сигналов синтезирован новый алгоритм обработки дискретных наблюдений при наличии дополнительной информации относительно КС коэффициента передачи канала связи. Предложено осуществлять восстановление полей КС в реальном масштабе времени на основе калмановской фильтрации с применением AP моделей с кратными корнями характеристических уравнений. При этом показан незначительный проигрыш по отношению к нереализуемым процедурам винеровской фильтрации. Установлено, что использование классической калмановской фильтрации с экспоненциальной аппроксимацией реальных КФ проигрывает предложенному подходу в 2–3 раза по дисперсии ошибки восстановления при незначительном уменьшении вычислительных затрат. Дальнейшее уточнение представленных результатов может быть выполнено на основе расчетов и сравнения установившихся значений ковариационных матриц ошибок фильтров Винера и Калмана, построенных для трех рассмотренных моделей с КФ (6), (7) и (8).

## СПИСОК ЛИТЕРАТУРЫ

1. Abeta S., Sawahashi M., Adachi F. Adaptive channel estimation for coherent DS-CDMA mobile radio using time-multiplexed pilot and parallel pilot structures // *IEICE Trans. Commun.* 1999. Vol. E82-B, N9. pp. 1505–1513
2. Nam L., Sakaniwa K. Extended symbol-aided estimation for non-selective Rayleigh fading channels // *IEICE Trans. Signal Proc.* 1997. Vol. 49. pp. 3065–3073.
3. Джеймс У.К. Связь с подвижными объектами в диапазоне СВЧ : пер. с англ. / под ред. М.С. Ярлыкова, М.В. Чернякова. М. : Связь, 1979. 520 с.
4. Yuanjin Z. A Novel Channel Estimation and Tracking Method for Wireless OFDM Systems Based on Pilots and Kalman Filtering // *IEEE Transactions on Consumer Electronics*, 2003, vol. 49, iss. 2, pp. 275–283.
5. Li Y.G. Pilot-symbol-aided Channel Estimation for OFDM in Wireless Systems // *IEEE Trans. Vehic. Technol.* 2000. Vol. 49. pp. 1207–1215.
6. Zhao J., Ellis A. Optical fast OFDM with chromatic dispersion compensation // *IEEE Photonics Technology Letters*. 2012. Vol. 24. № 1. pp. 34–36.
7. Giacomidis E. Experimental and theoretical investigations of intensity-modulation and direct detection optical fast OFDM over MMF links // *IEEE Photonics Technology Letters*. 2012. Vol. 24, № 1. pp. 52–54.
8. Кловский Д.Д. Передача дискретных сообщений по радиоканалам. М. : Радио и связь, 1982. 304 с.
9. Слюсар В. Неортогональное частотное мультиплексирование (N-OFDM) сигналов // *Технологии и средства связи*. 2013. № 5. С. 61–65.
10. Vasiliev K.K., Andriyanov N.A., Dementiev V.E. Developing a filtering algorithm for doubly stochastic images based on models with multiple roots of characteristic

equations // *Pattern Recognition and Image Analysis*. 2019. Vol. 29, № 1. pp. 10–20.

11. Васильев К.К. Оптимальная обработка сигналов в дискретном времени : учеб. пособие. М. : Радиотехника, 2016. 288 с.

12. Васильев К.К., Дементьев В.Е. Представление и обработка спутниковых многозональных изображений. Ульяновск : УлГТУ, 2017. 251 с.

## REFERENCES

1. Abeta S., Sawahashi M., Adachi F. Adaptive Channel Estimation for Coherent DS-CDMA Mobile Radio Using Time-Multiplexed Pilot and Parallel Pilot Structures. *IEICE Trans. Commun.*, 1999, vol. E82-B, N9, pp. 1505–1513.
2. Nam L., Sakaniwa K. Extended Symbol-aided Estimation for Non-selective Rayleigh Fading Channels. *IEICE Trans. Signal Proc.*, 1997, vol. 49, pp. 3065–3073.
3. James W.K. *Sviaz s podvizhnyimi obektami v diapazone SVCh*. Per. s angl. pod red. M.S. Yarlykova, M.V. Cherniakova [Microwave Mobile Communications. Translated from Engl. edited by M.S. Yarlykov, M.V. Cherniakov]. Moscow, Sviaz Publ., 1979. 520 p.
4. Yuanjin Z. A Novel Channel Estimation and Tracking Method for Wireless OFDM Systems Based on Pilots and Kalman Filtering. *IEEE Transactions on Consumer Electronics*, 2003, vol. 49, iss. 2, pp. 275–283.
5. Li Y.G. Pilot-Symbol-aided Channel Estimation for OFDM in Wireless Systems. *IEEE Trans. Vehic. Technol.*, 2000, vol. 49, pp. 1207–1215.
6. Zhao J., Ellis A. Optical Fast OFDM with Chromatic Dispersion Compensation. *IEEE Photonics Technology Letters*, 2012, vol. 24, no. 1, pp. 34–36.
7. Giacomidis E. Experimental and Theoretical Investigations of Intensity-Modulation and Direct Detection Optical Fast OFDM over MMF Links. *IEEE Photonics Technology Letters*, 2012, vol. 24, no. 1, pp. 52–54.
8. Klovskii D.D. *Peredacha diskretnykh soobshchenii po radiokanalam* [Transmitting Discrete Messages Through Radio Links]. Moscow, Radio i Sviaz Publ., 1982. 304 p.
9. Sliusar V. Neortogonalnoe chastotnoe multiplexirovanie (N-OFDM) signalov [Non-Orthogonal Frequency Division Multiplexing (N-OFDM) of Signals]. *Tekhnologii i sredstva svyazi* [Technologies and Communication Facilities], 2013, no. 5, pp. 61–65.
10. Vasilev K.K., Andriyanov N.A., Dementev V.E. Developing a Filtering Algorithm for Doubly Stochastic Images based on Models with Multiple Roots of Characteristic Equations. *Pattern Recognition and Image Analysis*, 2019, vol. 29, no. 1, pp. 10–20.
11. Vasilev K.K. *Optimalnaia obrabotka signalov v diskretnom vremeni*. Ucheb. posobie [Optimal Signal Processing in Discrete Time. Textbook]. Moscow, Radiotekhnika Publ., 2016. 288 p.
12. Vasilev K.K., Dementev V.E. *Predstavlenie i obrabotka sputnikovykh mnogozonnykh izobrazhenii* [Representation and Processing of Multizone Satellite Imagery]. Ulyanovsk, UISTU Publ., 2017. 251 p.